

К ВОПРОСУ О ГЕНЕРАЦИИ МАГНИТНОГО ПОЛЯ ЗЕМЛИ

Логинов А. А.

Институт космических исследований НАНУ - НКАУ, г. Киев

Работа посвящена исследованию ламинарного динамо-эффекта, который проявляется в достаточно интенсивных ламинарных сдвиговых течениях электропроводящей жидкости с высокой электропроводностью как спонтанное возникновение и стационарное поддержание магнитного поля. Интерес к этому явлению постоянно возрастает в связи с изучением природы магнетизма планет и других объектов космоса.

Рассмотрим в декартовой системе координат $\{\vec{e}_x, \vec{e}_y, \vec{e}_z\}$ течение Куэтта проводящей жидкости с профилем скорости

$$\vec{V} = -\vec{e}_y \Omega x \quad (-h \leq x \leq h, \quad [\Omega] = \text{с}^{-1}), \quad (1)$$

который создается двумя увлекающими жидкость встречно движущимися в направлении \vec{e}_y непроводящими пластинами, равноудаленными на h от плоскости $\{y, z\}$, как показано на рис. 1.

Выбирая для удобства систему единиц измерения длины и времени, в которой $h = 1, \Omega = 1$, запишем уравнения, определяющие поле \vec{H} и обеспечивающие непротекание тока сквозь пластины в виде

$$\begin{aligned} \frac{\partial \vec{H}}{\partial t} + \text{rot}[x\vec{e}_y \times \vec{H}] &= \mu \Delta \vec{H}, \\ \text{div} \vec{H} &= 0, \\ \text{rot}_x \vec{H} \Big|_{x=\pm 1} &= 0. \end{aligned} \quad (2)$$

Ввиду их линейности и трансляционной инвариантности относительно t, y, z , решение будем искать как суперпозицию фурье-гармоник

$$\vec{H} = [\vec{e}_y H_y(x) + \vec{e}_z H_z(x)] e^{\mu\gamma t + i(ky + \ell z)}, \quad (3)$$

задав поляризацию такой, что $H_x(x) \equiv 0$, и обеспечивая тем самым наиболее полную локализацию поля в области, занятой течением.

Подстановка (3) в (2) дает соотношение $kH_y(x) + \ell H_z(x) = 0$ и условия краевой задачи для $H_z(x)$:

$$H_z''(x) = (k^2 + \ell^2 + \gamma - i\mu^{-1}kx)H_z(x) \quad (-1 < x < 1), \quad (4)$$

$$H_z(\pm 1) = 0. \quad (5)$$

Заменой переменных

$$Z = -\left(\frac{k}{\mu}\right)^{\frac{1}{3}} \left\{ \mu k \left[1 + k^{-1} (\ell^2 + \gamma) \right] - i x \right\} = Z(x), \quad (6)$$

$$H_z(x) = W(Z)|_{Z=Z(x)} \quad (7)$$

уравнение (4) преобразуется в уравнение Эйри

$$W''(Z) = ZW(Z). \quad (8)$$

При этом отрезок $[-1, 1]$ вещественной прямой x переходит в прямолинейный отрезок на комплексной плоскости Z , перпендикулярный к вещественной оси и соединяющий комплексно-сопряженные точки

$$Z_{(\pm)} = -a^{\frac{1}{3}} e^{\mp i \varphi} \quad (9)$$

где a и φ определены соотношениями

$$\operatorname{ctg} \varphi = \mu k \left[1 + k^{-2} (\ell^2 + \gamma) \right], \quad (10)$$

$$a = k^2 \left[1 + k^{-2} (\ell^2 + \gamma) \right] \cdot \left(1 + \operatorname{tg}^2 \varphi \right)^{\frac{3}{2}} \operatorname{ctg}^2 \varphi.$$

Соответственно граничные условия (5) для $H_z(x)$ преобразуются в граничные условия, заданные на концах указанного отрезка комплексной плоскости Z для $W(Z)$:

$$W(Z_{(\pm)}) = 0. \quad (11)$$

Благодаря предлагаемой замене переменных, решение интересующей нас краевой задачи удается выразить через целые трансцендентные функции Эйри $Ai(Z)$, которые, согласно [2], представляются сходящимися на всей плоскости Z степенными рядами следующим образом:

$$Ai(Z) = Ai(0) \left[1 + \sum_{n=1}^{\infty} \frac{Z^{3n}}{\prod_{k=1}^n (3k-1) \prod_{\ell=1}^n (3\ell)} \right] + Ai'(0) \left[Z + \sum_{n=1}^{\infty} \frac{Z^{3n+1}}{\prod_{k=1}^n (3k) \prod_{\ell=1}^n (3\ell+1)} \right], \quad (12)$$

$$\text{где } Ai(0) = \left[3^{\frac{2}{3}} \Gamma\left(\frac{2}{3}\right) \right]^{-1}, \quad Ai'(0) = \left[3^{\frac{1}{3}} \Gamma\left(\frac{1}{3}\right) \right]^{-1}.$$

Определяемые через $Ai(Z)$ функции

$$W_{(\pm)}(Z) = Ai\left(Z e^{\pm \frac{2\pi i}{3}} \right) \quad (13)$$

являются двумя линейно независимыми решениями уравнения (8), как и сама функция $Ai(Z) = W(Z)$, связанная с $W_{(+)}$ и $W_{(-)}$ линейно:

$$W(Z) + W_{(+)}(Z)e^{\frac{2\pi i}{3}} + W_{(-)}(Z)e^{-\frac{2\pi i}{3}} = 0. \quad (14)$$

Функция

$$w(Z) = u(Z) + iv(Z) = 2\sqrt{\pi}W_{(+)}(Z)e^{i\frac{\pi}{6}}, \quad (15)$$

предложенная В.А. Фоком [3] для применения в теории распространения радиоволн над искривленной поверхностью, достаточно хорошо изучена и табулирована. Для вещественных значений $Z = t$ составлены таблицы функций $u(t)$, $v(t)$, $u'(t)$, $v'(t)$, позволяющие при помощи тождества (14) получать значения функции Эйри не только на вещественной оси, но и на всех шести лучах комплексной плоскости, на которых

$$\arg Z = \frac{n\pi}{3} \quad (n = 0, 1, 2, 3, 4, 5).$$

Однако для решения краевой задачи динамо этих табличных данных недостаточно, так как заранее неизвестно, какие именно значения Z будут характеристическими числами. Поэтому для их определения следует использовать представление в виде общих степенных рядов (12), сходящихся на всей комплексной плоскости, а также указанные В.А. Фоком асимптотики для $u(Z)$ и $v(Z)$, справедливые в достаточно широком секторе $-\frac{\pi}{3} < \arg < \frac{\pi}{3}$, в котором сходятся ряды

$$u(Z) = Z^{-\frac{1}{4}} \exp\left(\frac{2}{3}Z^{\frac{3}{2}}\right) \left(1 + a_1Z^{-1} + a_2Z^{-2} + a_3Z^{-3} + \dots\right), \quad (16)$$

$$v(Z) = Z^{-\frac{1}{4}} \exp\left(-\frac{2}{3}Z^{\frac{3}{2}}\right) \left(1 - a_1Z^{-1} + a_2Z^{-2} - a_3Z^{-3} + \dots\right),$$

где $a_1 = \frac{5}{72}$, $a_2 = \frac{(5 \cdot 11) \cdot 7}{(1 \cdot 2) \cdot 72^2}$, $a_3 = \frac{(5 \cdot 11 \cdot 17) \cdot (7 \cdot 13)}{(1 \cdot 2 \cdot 3) \cdot 72^3}$, ...,

$$a_n = \frac{[5 \cdot 11 \cdot \dots \cdot (6n - 1)] \cdot [7 \cdot 13 \cdot \dots \cdot (6n - 5)]}{n! 72^n}.$$

Применяя функции Эйри (13), представим общее решение уравнения (8) в виде

$$W(Z) = C^{(+)}W_{(+)}(Z) + C^{(-)}W_{(-)}(Z). \quad (17)$$

Подставляя (17) в граничные условия (11), получим линейную однородную алгебраическую систему двух уравнений относительно двух неизвестных констант $C^{(+)}$, $C^{(-)}$:

$$\begin{aligned} C^{(+)}W_{(+)}(Z_{(+)}) + C^{(-)}W_{(-)}(Z_{(+)}) &= 0, \\ C^{(+)}W_{(+)}(Z_{(-)}) + C^{(-)}W_{(-)}(Z_{(-)}) &= 0. \end{aligned} \quad (18)$$

Как известно, для существования нетривиального решения этой системы необходимо и достаточно, чтобы ее определитель равнялся нулю. Соответственно получаем характеристическое уравнение

$$W_{(+)}(Z_{(+)})W_{(-)}(Z_{(-)}) = W_{(+)}(Z_{(-)})W_{(-)}(Z_{(+)}). \quad (19)$$

Простые выкладки, использующие (9), (12), (13), приводят это уравнение к удобной для вычислений окончательной форме, устанавливающей взаимосвязь a и φ :

$$\sin \varphi + \sum_{n=1}^{\infty} (-1)^n a^n f_n(\varphi) = 0, \quad (20)$$

где

$$\begin{aligned} f_n(\varphi) &= \frac{\prod_{k=1}^n (3k-1)}{(3n+1)!} \sin[(3n+1)\varphi] + \sum_{m=1}^{n-1} \frac{\prod_{k=1}^{n-m} (3k-1) \prod_{\ell=1}^m (3\ell-2)}{(3m)! [3(n-m)+1]!} \sin\{[3(n-2m)+1]\varphi\} - \\ &\quad - \frac{\prod_{\ell=1}^n (3\ell-2)}{(3n)!} \sin[(3n-1)\varphi]. \end{aligned}$$

Указанный здесь степенной ряд, как это следует из теории функций Эйри, сходится на всей комплексной плоскости Z , т. е. при всех $a \geq 0$ и любых $\varphi \pmod{2\pi}$, но область существования решений уравнения (20), разумеется, не обязана совпадать со всей плоскостью Z . Как показывает анализ, решения существуют по крайней мере в секторе $\frac{\pi}{2} < \varphi < \pi$.

Вычисления производились в пределах $1 < n < N$. Уже начиная с $N \geq 20$, дальнейшее увеличение N вплоть до $N = 60$ не выявило практически никаких отличий в результатах расчета дисперсионной зависимости $a = a(\varphi)$ в диапазоне $0 \leq a \leq 160$. Выявлена зонная структура неустойчивости, в которой, собственно, и проявляется динамо-эффект. Для иллюстрации на рис. 2 приведены эпюры трех зон (они затушеваны), попадающих в указанный диапазон изменения a .

Принципиальное значение имеет пороговое значение $a_* = a_{\min}$ и соответствующее ему φ_* . Эти числа определяют наибольшее значение магнитной вязкости $\mu = \mu_{\text{кр}}$, выше которого генерация поля невозможна, и реализуемая при $\mu_{\text{кр}}$ наименьшая длина волны поля $\lambda_{\min} = \frac{2\pi}{k_{\text{кр}}}$, связь которых с a_* и φ_* устанавливается согласно (10). Фрагмент первой зоны с a_* и φ_* укрупненно показан на рис. 3.

В результате подстановки найденной дисперсионной зависимости $a=a(\varphi)$ в формулы, определяющие $Z_{(\pm)}$, получаем с точностью до произвольного множителя решение уравнения (8), удовлетворяющее заданным граничным условиям (11), имеющее вид

$$W(Z) = W_{(-)}(Z_{(+)})W_{(+)}(Z) - W_{(+)}(Z_{(+)})W_{(-)}(Z). \quad (21)$$

Явное выражение для $H_z(x)$ получается из (21) по формулам (6) и (7). При этом $H_y(x) = -\frac{\ell}{k} H_z(x)$. Векторное поле токов определяется в результате применения операции rot к (3). Выделение действительной части из полученных выражений для магнитного поля и токов дает окончательную вещественную форму решения рассмотренной задачи.

Для случая $\gamma = 0$ и $\ell = 0$ при $a = a_{\text{кр}} = 6,970$ и $\varphi_* = 2,247$, которым, согласно (10), соответствуют $k_* = -1,629$ и $\text{Re}_m^* = \mu_*^{-1} = 2,029$, на рис.4 линиями уровня в пределах $-0,8 \leq H_z \leq +0,8$ представлен результат расчета z-составляющей напряженности магнитного \vec{H} как функции x и y . Подобным же образом на рис. 9 и 10 даны распределения x - и y - составляющих плотности тока \vec{J} в пределах от $-1,5$ до $+1,5$.

На приведенных иллюстрациях обращают на себя внимание следующие две особенности построенных эпюр:

- наклон ячеек генерируемого поля и токов навстречу сдвиговому течению и S-образность линий нулевого уровня;
- обращение в нуль нормальной к непроводящим границам составляющей J_x поля токов в соответствии с заданными граничными условиями.

В более общем случае, когда $\ell \neq 0$, дисперсионная зависимость для каждой из зон генерации поля должна изображаться в виде параметризованного инкрементом γ семейства поверхностей над плоскостью волновых чисел k и ℓ $\mu^{-1} = \text{Re}_m = R^\sigma(k, \ell; \gamma)$, где σ - номер зоны ($\sigma = 1, 2, 3, \dots$). Минимальное значение Re_m для течения, способного поддерживать стационарный динамо-процесс, достигается при $\ell = 0$. Объемные ponderomotive силы $[\vec{H} \times \text{rot} \vec{H}]$, возмущая поле скоростей в соответствии с уравнением (2), приводят к увеличению касательных напряжений, тормозящих движение пластин. Тем самым обеспечивается трансформация механической энергии в электромагнитную, что и определяет, в конечном счете, сущность эффекта гидромагнитного динамо.

1. Моффат Г. Возбуждение магнитного поля в проводящей среде. — М.: Мир, 1980, 340 с.
2. Олвер Ф. Введение в асимптотические методы и специальные функции. — М.: Наука, 1978, 376 с.
3. Фок В. А. Таблицы функций Эйри. — М.: Изд. Инф. Отд. НИИ-108, 1946, 56 с.

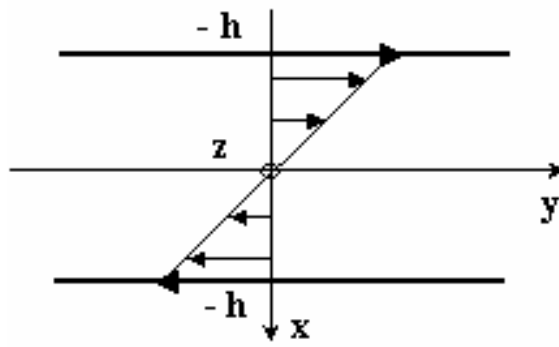


Рис.1. Течение Куэтта между встречно тангенциально движущимися параллельными плоскостями.

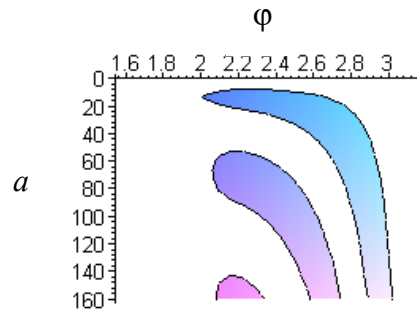


Рис.2. Зонная структура решения системы уравнений (18). Темные зоны соответствуют отрицательным значениям детерминанта, неокрашенная область – положительным.
Линия границы между областями – решения уравнения (19)
(нулевые значение детерминанта системы (18))

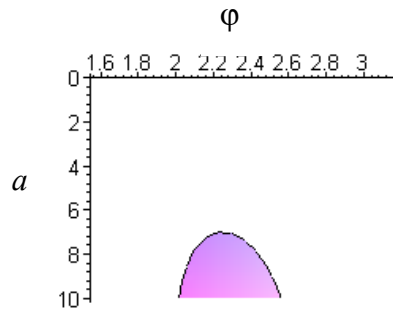


Рис.3. Укрупненный фрагмент первой (по мере возрастания параметра a) зоны

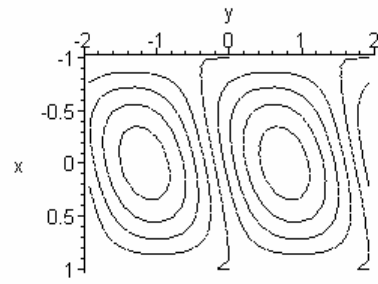


Рис.4. Линии уровня величины H_z - компонента магнитного поля

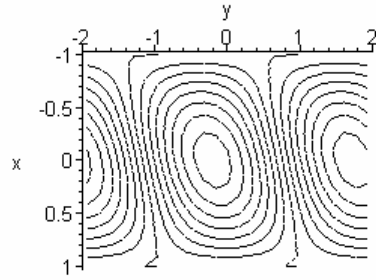


Рис.5. Линии уровня J_x - компонента плотности тока

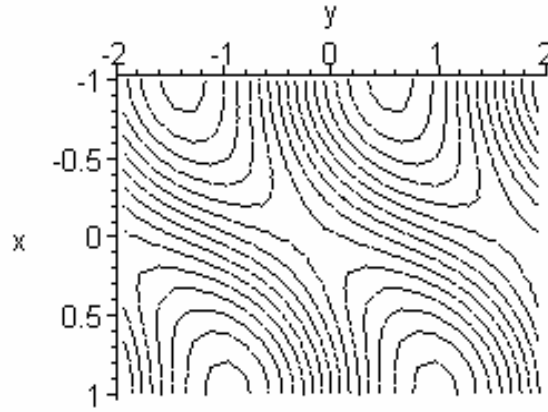


Рис.6. Линии уровня J_y -компоненты плотности тока